

# Aula 05

Teoria linear de ondas

Estruturas: forças de ondas e movimentos de 1<sup>a</sup> ordem

Aproximação em ondas longas: A fórmula de Morison



# Introdução

- **Objetivos:**
  - Apresentar alguns resultados fundamentais da chamada teoria linear de ondas: compreensão das características essenciais do escoamento (velocidade e pressão);
  - Definir as chamadas forças de 1ª ordem e as funções de transferência lineares de movimento (RAOs)
  - Introduzir aproximação frequentemente empregada para estruturas esbeltas: fórmula de Morison

# A Teoria Linear de Ondas

- Referências sugeridas para estudo:
  1. DEAN R.G. & DALRIMPLE, R.A. Water Wave Mechanics for Engineers and Scientists. Word Scientific, 1991.
  2. FALTINSEN, O.M. Sea Loads on ships and offshore structures. Cambridge University Press, 1990.
  3. JOURNÉE, J.M.J & MASSIE, W.W. Offshore Hydromechanics, Apostila, Delft University of Tech., Holanda, 1a Ed., 2001
  4. NEWMAN, J.N. Marine Hydrodynamics. The M.I.T. Press, Cambridge MA/USA, 1977.
  5. STOKER, J.J. Water Waves. New York: Interscience, 1957

# A Teoria Linear de Ondas

- Fenômenos ondulatórios no ambiente marinho

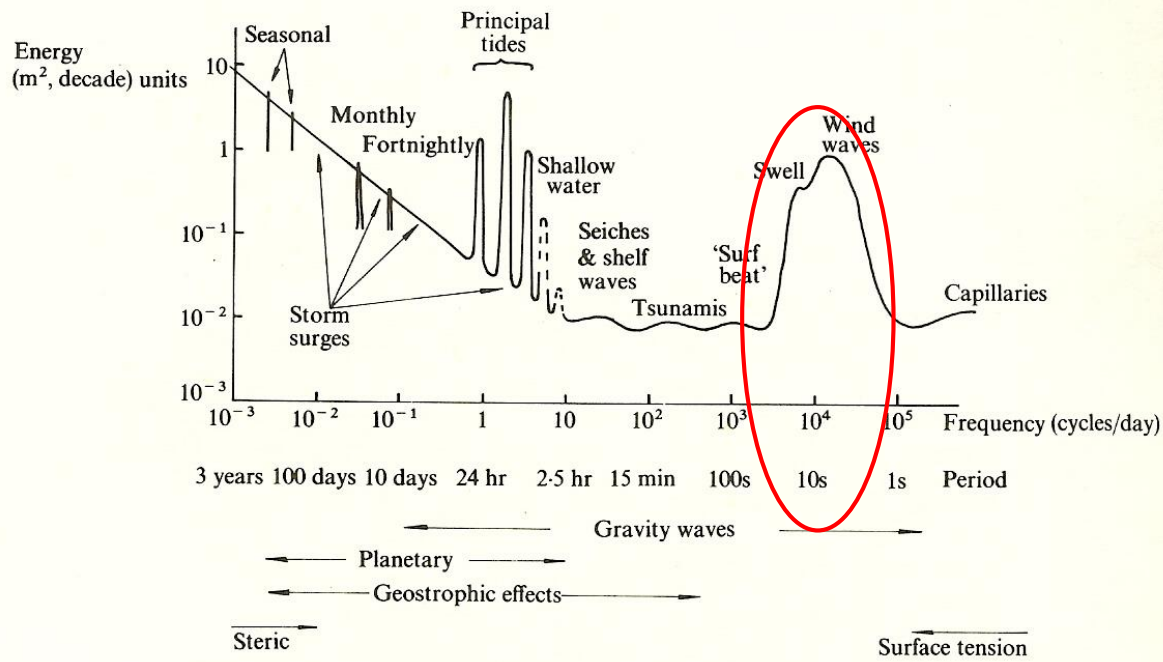
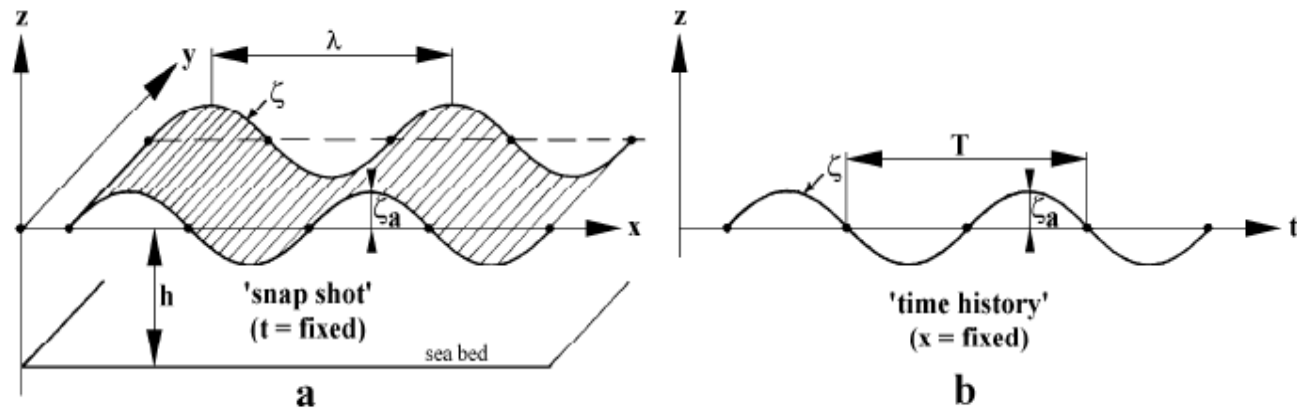


Figure 38. Sketch illustrating the way in which the mean square spectral density of wave elevation is distributed.

# A Teoria Linear de Ondas

- Onda de gravidade: onda *regular* plana e progressiva



Journée & Massie, 2001

- Parâmetros característicos (conhecidos):
  - Amplitude ( $A$ )
  - Comprimento de onda ( $\lambda$ )
  - Período de oscilação ( $T$ )

# A Teoria Linear de Ondas

- **Premissa:** Efeitos de viscosidade são pouco importantes na dinâmica do escoamento.
- **Modelo:** Escoamento potencial

$$\boxed{\vec{v}(x, z, t) = \nabla \phi(x, z, t)} \longleftrightarrow \nabla \times \vec{v} = \vec{0}$$

- **Incógnitas:**

$$\boxed{\begin{array}{l} \phi(x, z, t) \\ p(x, z, t) \end{array}}$$



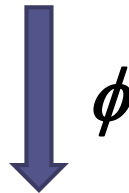
2 Equações

# A Teoria Linear de Ondas

- Equação da continuidade

$$\nabla^2 \phi = \left( \frac{\partial^2 \phi}{\partial x^2} + \frac{\partial^2 \phi}{\partial z^2} \right) = 0$$

Eq. de Laplace  
*PDE Linear 2ª Ordem*



- Equação de Movimento

$$\rho \frac{\partial \phi}{\partial t} + \frac{1}{2} \nabla \phi \cdot \nabla \phi + p + \rho g z = 0 \quad \longrightarrow \quad \mathbf{p}$$

Eq. de Bernoulli

# A Teoria Linear de Ondas

- A solução do escoamento decorre da solução de um problema matemático de valor de contorno baseado na eq. de Laplace (linear)...

$$\nabla^2 \phi = \left( \frac{\partial^2 \phi}{\partial x^2} + \frac{\partial^2 \phi}{\partial z^2} \right) = 0$$

- mas com uma condição **não-linear** na superfície livre ( $z = \zeta(x, t)$ ). Ex, a condição dinâmica que impõe pressão constante (atmosférica) na superfície:

$$\frac{\partial \phi}{\partial t} + \frac{1}{2} \|\nabla \phi\|^2 + g\zeta = -\frac{p - p_0}{\rho} = 0 \quad \longrightarrow \quad \zeta = -\frac{1}{g} \left( \frac{\partial \phi}{\partial t} + \frac{1}{2} \nabla \phi \cdot \nabla \phi \right)_{z = \zeta(x, t)}$$



# A Teoria Linear de Ondas

- Resultando em um PVC não linear:

$$\nabla^2 \phi = \left( \frac{\partial^2 \phi}{\partial x^2} + \frac{\partial^2 \phi}{\partial z^2} \right) = 0$$

- com as condições de contorno:

$$\nabla \phi(x, z, t) \cdot \vec{n} = \frac{\partial \phi}{\partial z} = 0 \quad z = -h$$

$$\zeta = -\frac{1}{g} \left( \frac{\partial \phi}{\partial t} + \frac{1}{2} \nabla \phi \cdot \nabla \phi \right)$$

$$\frac{\partial \zeta}{\partial t} = \frac{\partial \phi}{\partial z} - \frac{\partial \phi}{\partial x} \frac{\partial \zeta}{\partial x} \quad z = \zeta(x, t)$$

Para a dedução,  
ver, p.ex. Dean &  
Dalrymple, 1991

# A Teoria Linear de Ondas

- No entanto, as ondas de gravidade têm uma característica importante:
- A declividade de onda ( $A/\lambda$  ou  $kA$ ) está relacionada com sua estabilidade, e a maior parte das ondas de interesse se caracteriza por sua *baixa declividade*
- Limite para a *quebra* da onda:  
 $A/\lambda = 0.07$   
ou  
 $kA = 0.44$
- e, admitindo  $kA \ll 1$ , é possível linearizar a solução ([ver notas de aula](#))

# A Teoria Linear de Ondas

- O problema de valor de contorno **linearizado** (*onda de pequena amplitude, teoria de Airy*):

$$\nabla^2 \phi = \left( \frac{\partial^2 \phi}{\partial x^2} + \frac{\partial^2 \phi}{\partial z^2} \right) = 0$$

$$\nabla \phi(x, z, t) \cdot \vec{n} = \frac{\partial \phi}{\partial z} = 0 \quad z = -h$$

$$\zeta(x, t) = -\frac{1}{g} \frac{\partial \phi}{\partial t} \quad z = 0$$

$$\frac{\partial \zeta}{\partial t} = \frac{\partial \phi}{\partial z}$$

A solução deste PVC linear com base no método da separação de variáveis pode ser encontrada, p.ex., em Dean & Dalrymple, 1991

# A Teoria Linear de Ondas

- A solução do escoamento:

$$\phi(x, z, t) = \frac{gA}{\omega} \frac{\cosh k(z+h)}{\cosh kh} \text{sen}(kx - \omega t)$$

$$\zeta(x, t) = A \cos(kx - \omega t)$$

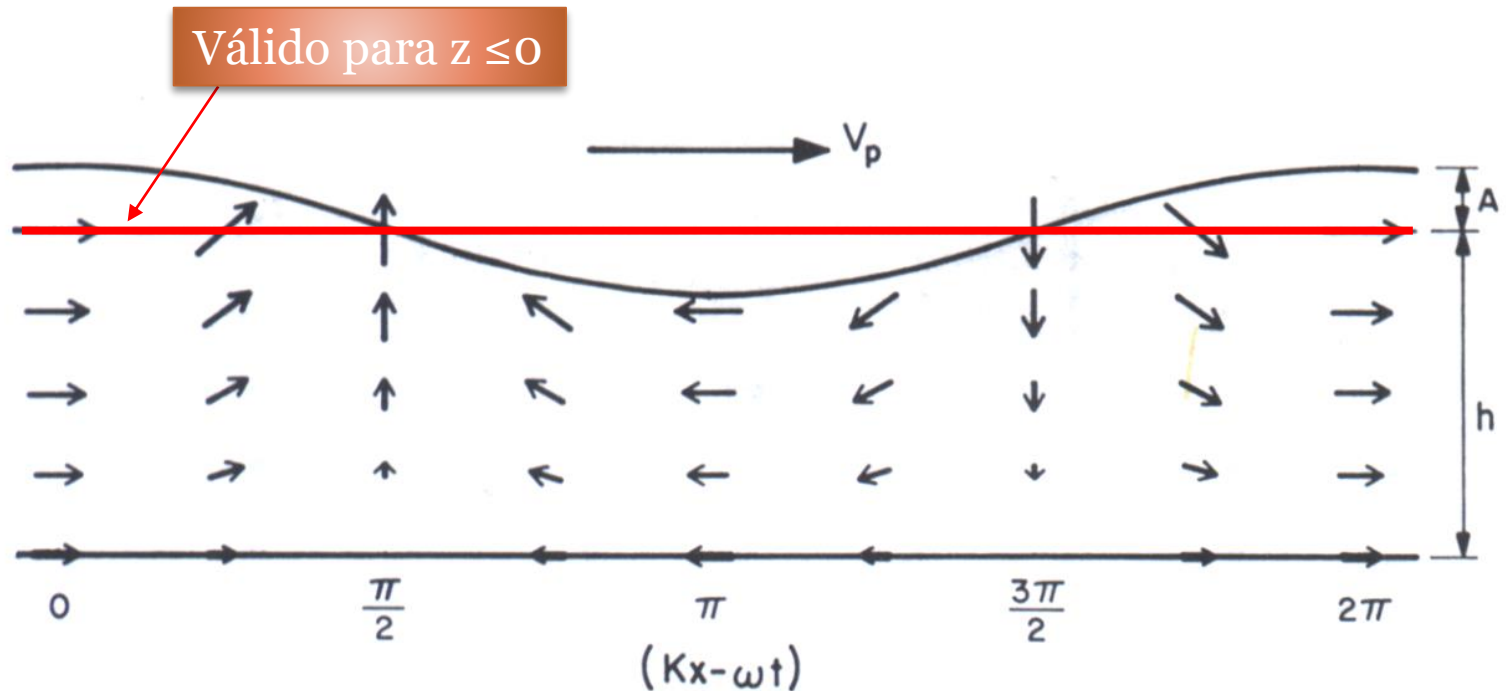
Se em águas profundas ( $kh > \pi$ ):  
 $\sim \exp(kz)$

- e obedecendo à chamada *relação de dispersão* linear:

$$k = \frac{\omega^2}{g \tanh kh}$$

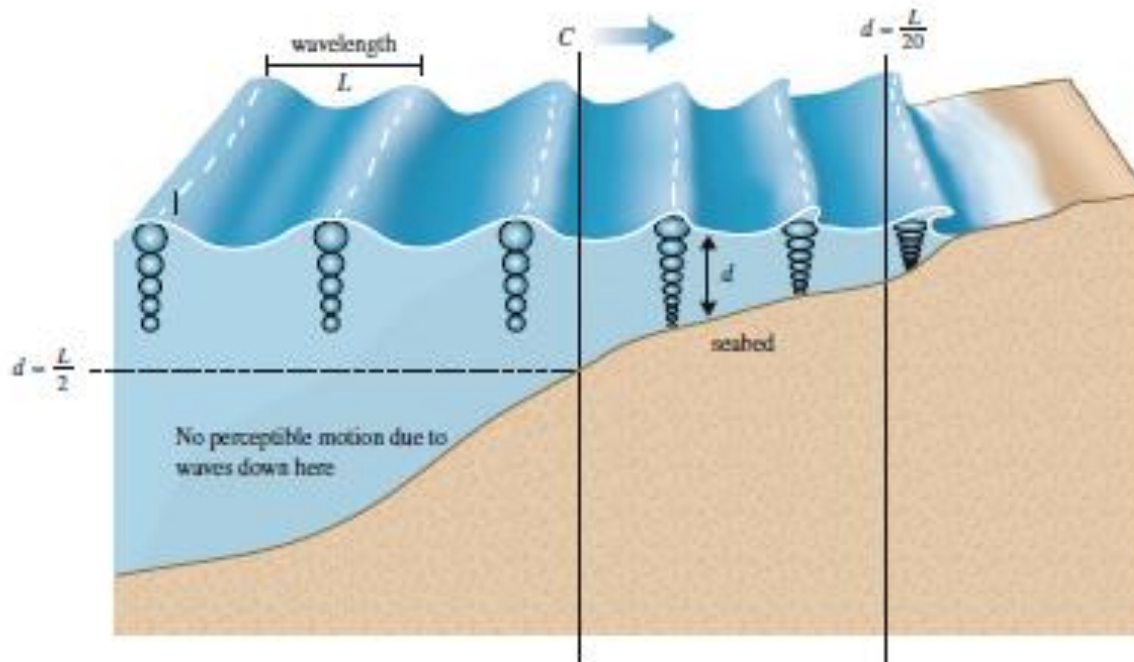
# A Teoria Linear de Ondas

- A partir da qual obtemos o **campo de velocidades**



# A Teoria Linear de Ondas

- As trajetórias (elípticas) do fluido:



Deep-water waves:

$$d > \left(\frac{L}{2}\right)$$

$C$ ,  $L$  and  $h$  constant over long distances

Transitional water waves:

$$\left(\frac{L}{20}\right) < d < \left(\frac{L}{2}\right)$$

$C$  and  $L$  decrease, wave height increases, rounded tops form peaks

Shallow water waves:

$$d < \left(\frac{L}{20}\right)$$

The wave breaks

Source: *Pecher, A. & Kofoed, J.P. (editors), Handbook of Ocean Wave Energy*

# A Teoria Linear de Ondas

- e o **campo de pressão oscilatório** no escoamento:

$$p = -\rho \frac{\partial \phi}{\partial t}$$

Lembrando que o termo  $v^2$  na eq. de Bernoulli é ignorado

$$p(x, z, t) = \rho g A \frac{\cosh k(z+h)}{\cosh kh} \cos(kx - \omega t)$$

- ou:

$$h / \lambda \leq 1/2$$

$$p(x, z, t) = \rho g A e^{kz} \cos(kx - \omega t)$$

$$h / \lambda > 1/2$$

# A Teoria Linear de Ondas

- *Observação:* Na solução linear do problema, ao campo de pressão oscilatório é somada a parcela hidrostática de pressão...

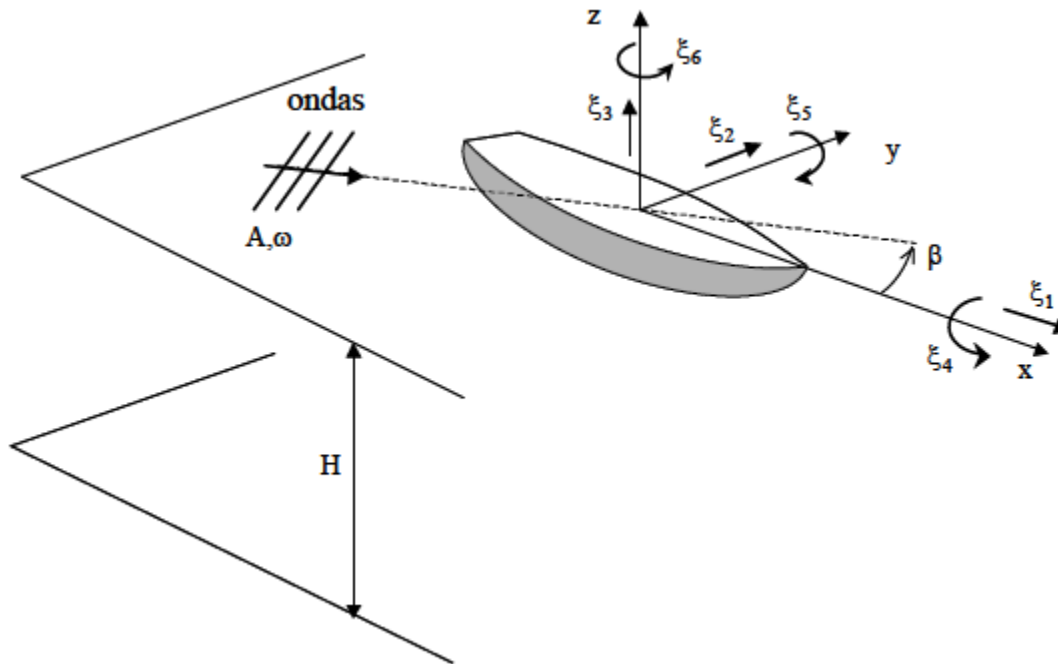
$$p(x, z, t) = -\rho \frac{\partial \phi}{\partial t} - \rho g z$$

- mas deve-se lembrar que, para garantir a coerência do modelo, esse campo de pressão linear também só deve ser considerado para  **$z \leq 0$**



# A Interação Ondas-Estruturas Flutuantes

- O problema de comportamento em ondas de uma estrutura (*seakeeping*) consiste em se estimar os movimentos do corpo sob ação das forças hidrodinâmicas induzidas pelas ondas:



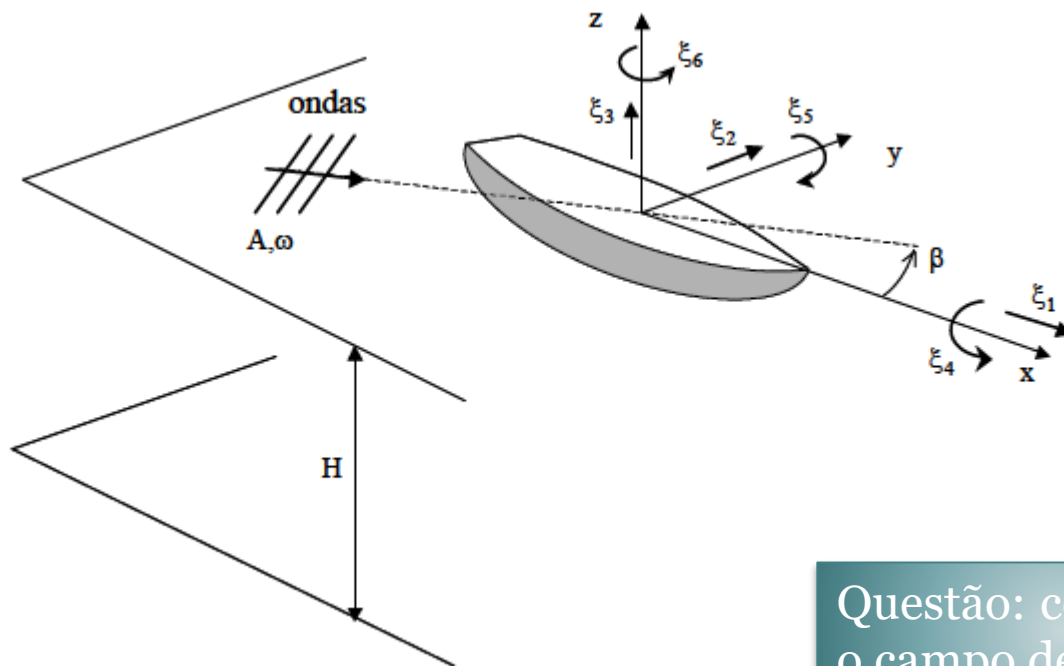
$$\vec{X}(t) = \{X_j(t)\}; j = 1:6$$

$$\vec{V}(t) = \{\dot{X}_j(t)\}; j = 1:3$$

$$\vec{\Omega}(t) = \{\dot{X}_j(t)\}; j = 4:6$$

# A Interação Ondas-Estruturas Flutuantes

- As forças hidrodinâmicas são obtidas pela integração do campo de pressão:



$$\vec{F} = \iint_S p \vec{n} dS$$

$$\vec{M} = \iint_S p (\vec{r} \times \vec{n}) dS$$

Questão: como tratar o campo de pressão?

# A Interação Ondas-Estruturas Flutuantes

- Condição para emprego do modelo de escoamento potencial ( $p \sim p_{\text{pot}}$ ):
- Se  $l$  for uma dimensão característica do corpo:

$$O\left(\frac{F_{\text{INERCIA}}}{F_{\text{VISC}}}\right) = \frac{\rho l^3 \dot{u}}{\rho l^2 u^2} = \left(\frac{l\omega}{u}\right) \rightarrow \text{KC}^{-1}$$

- $u$  será a amplitude de velocidade (do escoamento da onda incidente ou do produzido pelo movimento do corpo).
- Para  $\text{KC} \ll 1$ , devemos ter:

$$\frac{A}{l} \ll 1$$

+

$$\frac{|X_j|_{\text{MAX}}}{l} \ll 1 \quad j = 1:3$$
$$|X_j|_{\text{MAX}} \ll 1 \quad j = 4:6$$

# A Interação Ondas-Estruturas Flutuantes

- A condição de pequena amplitude de onda também favorece o emprego da teoria linear de ondas ( $kA \ll 1$ )
- A condição de pequenos movimentos do corpo rígido permite a linearização da equação de movimento do corpo...

$$[M]\{\ddot{X}(t)\} = \{F(t)\}$$

$$\sum_{j=1}^6 M_{ij} \dot{U}_j(t) = F_i(t) \quad p/i=1:6$$

- onde as forças hidrodinâmicas serão calculadas a partir da integração do campo linear de pressão sobre a **superfície molhada média da estrutura flutuante** ( $\overline{S_B}$ )

# A Interação Ondas-Estruturas Flutuantes

- Por outro lado, a força hidrodinâmica linear será composta por três parcelas de origens distintas (ver, p.ex., Newman(1977)):

$$\sum_{j=1}^6 M_{ij} \dot{U}_j(t) = F_i(t) = F_{RAD,i}(t) + F_{EXC,i}(t) + F_{STA,i}(t) \quad p/i=1:6$$

Associada às velocidades e acelerações do corpo rígido

Associada ao *espalhamento* da onda incidente sobre a estrutura fixa (s/movimentos)

Associada ao campo de pressão *hidrostático* (restaurações hidrostáticas)

# A Interação Ondas-Estruturas Flutuantes

- As *forças de radiação* são de natureza semelhante às forças inerciais em fluido infinito (ver aula #04), mas, em função da presença da superfície-livre, haverá também parcela que estará em fase com a velocidade do corpo rígido (*amortecimento potencial*):

$$F_{RAD,i} = -\sum_{j=1}^6 a_{ij} \dot{U}_j + b_{ij} U_j \quad i = 1, 2, \dots, 6$$

$$a_{ij}(\omega) = \frac{1}{\omega^2} \operatorname{Re}(f_{ij}) = -\frac{\rho}{\omega^2} \operatorname{Re} \left( \iint_{\bar{S}_B} \frac{\partial \varphi_i}{\partial n} \varphi_j dS \right)$$

$$b_{ij}(\omega) = -\frac{1}{\omega} \operatorname{Im}(f_{ij}) = \frac{\rho}{\omega} \operatorname{Im} \left( \iint_{\bar{S}_B} \frac{\partial \varphi_i}{\partial n} \varphi_j dS \right)$$

- $\varphi_i(x,y,z)$ : potenciais que representam o escoamento induzido por movimento oscilatório do corpo com frequência  $\omega$  e velocidade unitária no gdl  $i$

# A Interação Ondas-Estruturas Flutuantes

- As forças de restauração hidrostática também são forças reativas, proporcionais aos deslocamentos do corpo rígido:

$$F_{STA,i} = - \sum_{j=1}^6 c_{ij} X_j(t) \quad p/i=1,6$$

- onde:  $c_{ij}$ : coeficientes que só dependem da geometria do casco e de seus parâmetros inerciais
- e, portanto, as equações de movimento do corpo podem ser escritas na forma:

$$\sum_{j=1}^6 (M_{ij} + a_{ij}(\omega)) \ddot{U}_j(t) + b_{ij}(\omega) \dot{U}_j(t) + c_{ij} X_j(t) = F_{EXC,i}(t) \quad p/i=1:6$$

$$([M] + [A])\{\ddot{X}(t)\} + [B]\{\dot{X}(t)\} + [C]\{X(t)\} = \{F_{EXC}(t)\}$$

# A Interação Ondas-Estruturas Flutuantes

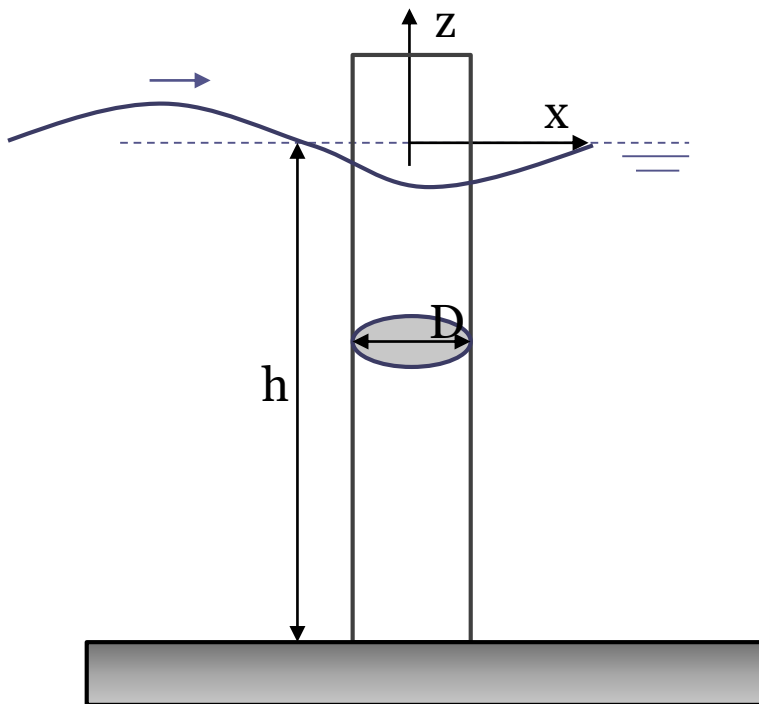
- Observação: **A abordagem dinâmica no domínio da frequência**
- Dada a linearidade do problema dinâmico, a solução em regime (*steady-state*) das equações de movimento pode ser feita também no chamado *domínio-da-frequência* (ver notas de aula)
- Através desta solução definem-se as chamadas funções de transferência lineares de movimento (ou **Response Amplitude Operators, RAOs**) :

$$\left\{ \frac{\xi(\omega, \beta)}{A} \right\} = inv\{-\omega^2([M] + [A(\omega)]) + i\omega[B(\omega)] + [C]\} \{\chi(\omega, \beta)\}$$



# Aproximação em ondas longas

- No final da década de 1940, pesquisadores da UCLA/Berkeley propuseram um método aproximado para se estimar a força de excitação horizontal em pilares de sustentação de *piers*, usando teoria de faixas:



In: Morison, J.R., O'Brien, M.P., Johnson, J.W., Schaaf, S.A., "The force exerted by surface waves on piles", Petrol. Trans., AIME, Vol.189, 1950.

$$F_{EXC}(t) = \int_{-h}^{\zeta(t)} f_{EXC,x}(t) dz$$

# Aproximação em ondas longas

- E a expressão da força seccional inclui um termo inercial somado (de forma ad hoc) a um termo de arrasto viscoso:

$$f_{EXC,x}(t) = \rho A_s C_M \dot{u}(0,0, -z, t) + \frac{1}{2} \rho D C_D u(0,0, -z, t) |u(0,0, -z, t)|$$

- com as velocidades e acelerações obtidas da teoria linear de ondas (onda incidente não perturbada):

$$u(x, z, t) = \omega A \frac{\cosh k(z + h)}{\sinh(kh)} \cos(kx - \omega t)$$

$$\dot{u}(x, z, t) = \omega^2 A \frac{\cosh k(z + h)}{\sinh(kh)} \sin(kx - \omega t)$$

# Aproximação em ondas longas

- A aproximação é válida no regime de ondas longas ( $kD \ll 1$ ), quando o espalhamento de ondas pela estrutura é pequeno.

$$kD = 2\pi \frac{D}{\lambda} \ll 1$$

- E, lembrando da relação de dispersão:

$$k = \frac{\omega^2}{g \tanh kh}$$

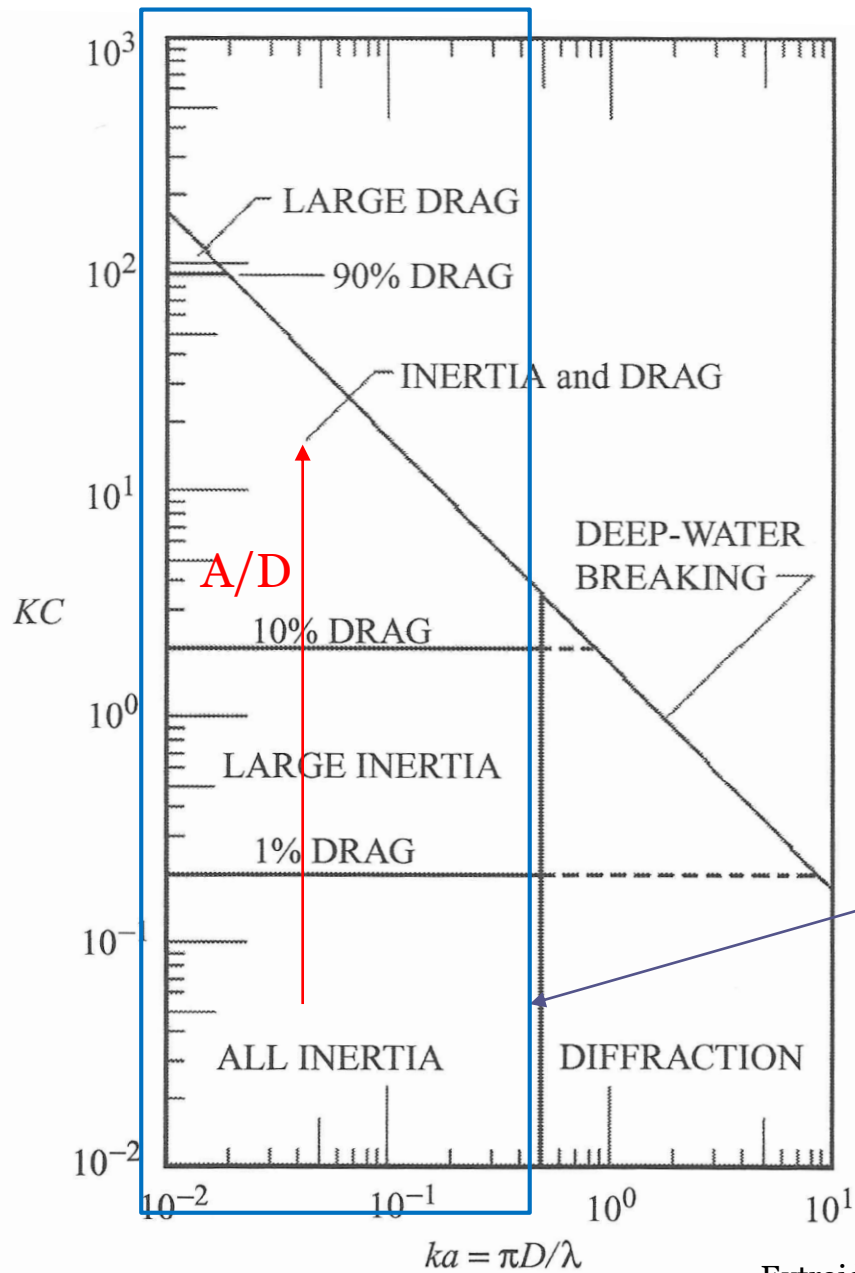
- Vemos que a condição de ondas longas estará associada, em geral, a ondas de baixa frequência

# Aproximação em ondas longas

- Devemos lembrar, porém, que, para cada secção:

$$KC = KC(z) = \frac{UT}{D} = 2\pi \frac{A}{D} e^{kz}$$

- e no regime de ondas longas, muitas vezes  $KC$  *não será pequeno*, implicando que os efeitos viscosos serão pronunciados (quadro a seguir)



Cilindro circular vertical  
de diâmetro  $D=2a$

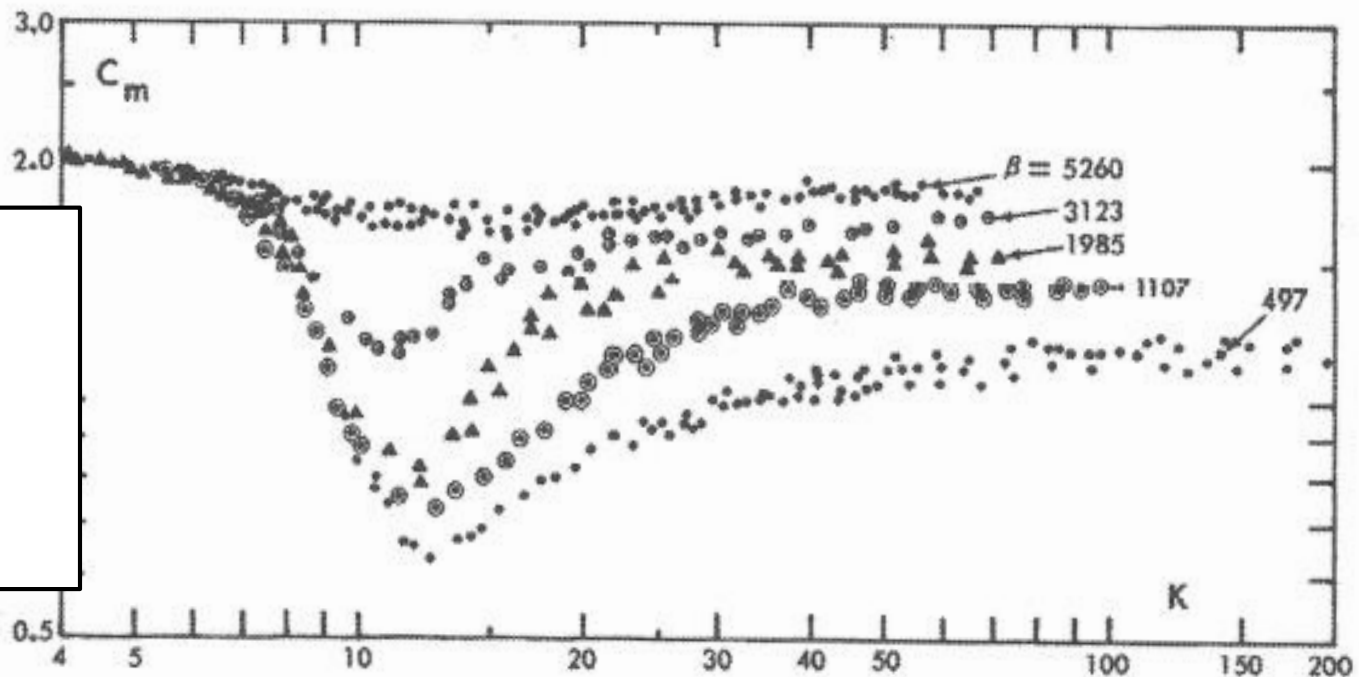
Zonas de domínio das  
forças de diferentes origens  
junto a  $z=0$

$$KC=2\pi A/D$$

Regime de  
ondas longas  
 $ka \ll 1$

# Aproximação em ondas longas

- **Escolha de  $C_M$  e  $C_D$ :** dados experimentais de força em cilindros circulares em fluido infinito



Círculo de diâmetro  $D$

$$KC = UT/D$$

$$\beta = (1/\nu)D^2/T$$

Figure 3.20.  $C_m$  versus  $K$  data for various values of  $\beta$  (Sarpkaya 1976e).

# Aproximação em ondas longas

- **Escolha de  $C_M$  e  $C_D$ :** dados experimentais de força em cilindros circulares em fluido infinito

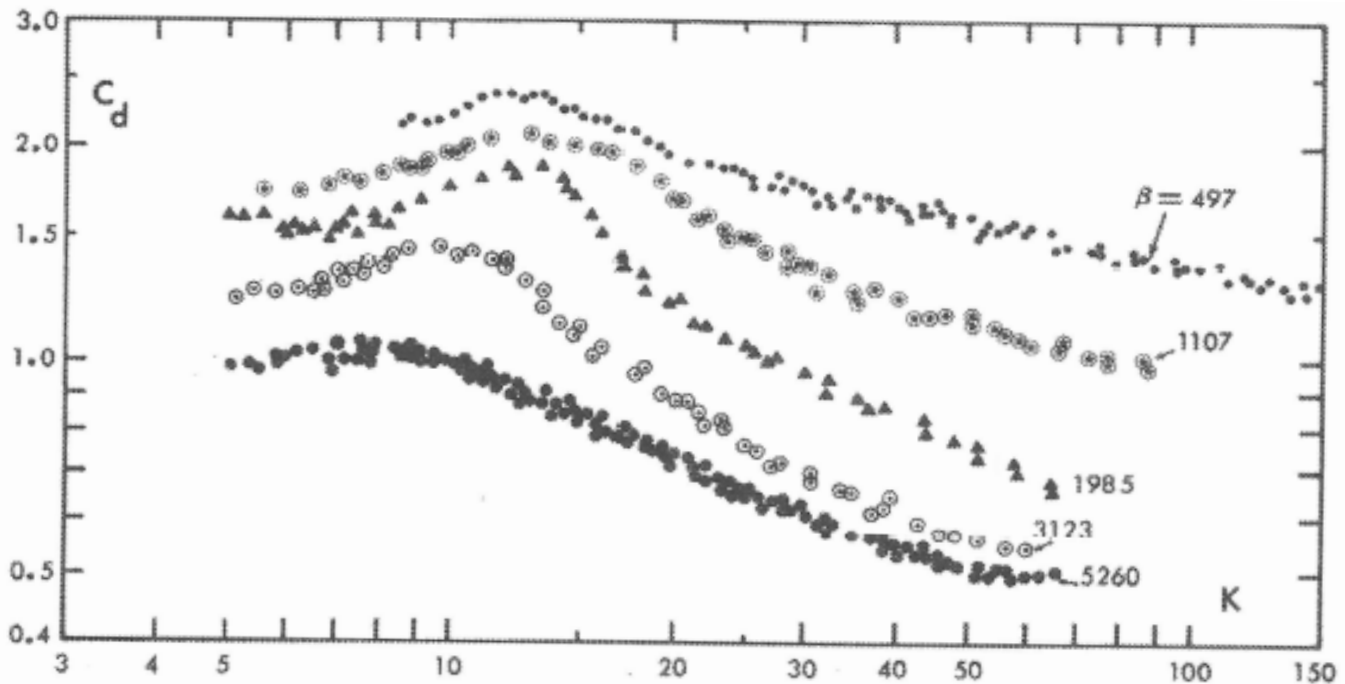


Figure 3.19.  $C_d$  versus  $K$  data for various values of  $\beta$  (Sarpkaya 1976e).

# Aproximação em ondas longas

- **Aproximação da solução potencial:** Quando KC é baixo, a força será dominada pelo termo inercial, e o valor do coeficiente  $C_M$  tenderá ao valor teórico obtido por escoamento potencial:

$$f_{EXC,x}(t) \cong \rho A_S C_{M,pot} \dot{u}(0,0,-z,t)$$

- e, no caso da seção circular:

$$C_{M,pot} = \frac{\rho A_S + m_{11}}{\rho A_S} = 2,0$$

- Obs: para se manter a coerência com a teoria linear de ondas, neste caso fazer:

$$F_{EXC}(t) = \int_{-h}^0 f_{EXC,x}(t) dz$$

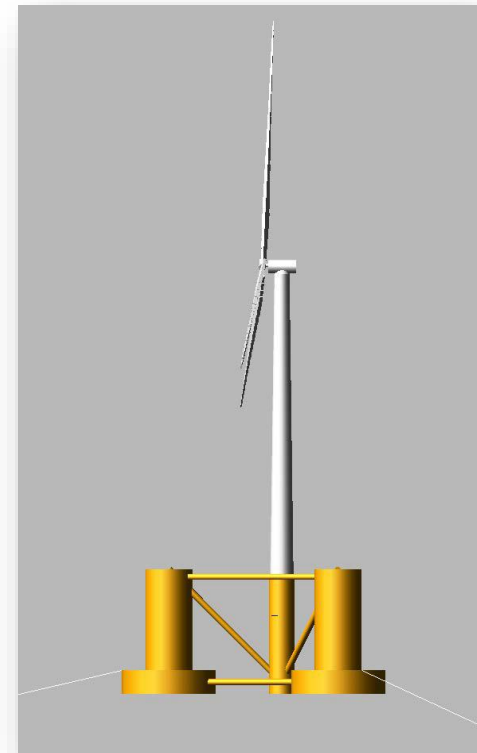
- A partir dessa aproximação, podemos estimar as forças e movimentos de estruturas esbeltas em ondas no regime de ondas longas ([situação explorada no Exercício 2 da lista #2](#))



# Aproximação em ondas longas

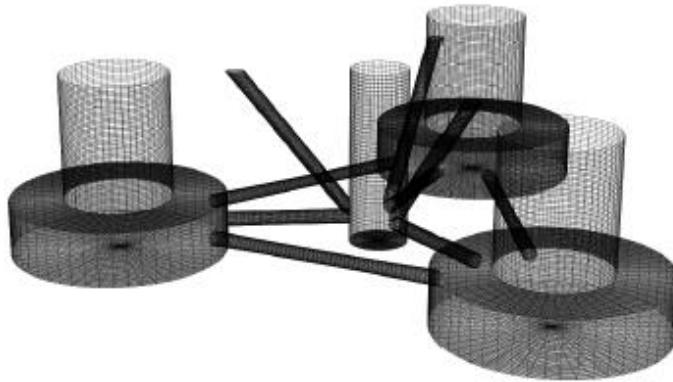
- **Estruturas flutuantes esbeltas:** é comum empregarmos o método relacionado à fórmula de Morison (tanto para seções horizontais como verticais) para estimar as forças e movimentos de estruturas esbeltas flutuantes com bons resultados.
- Exemplo: *Turbina eólica flutuante*

*Figuras extraídas de:  
Lucas Henrique de Souza Carmo, Trabalho de  
Formatura PNV2511-12, 2016*



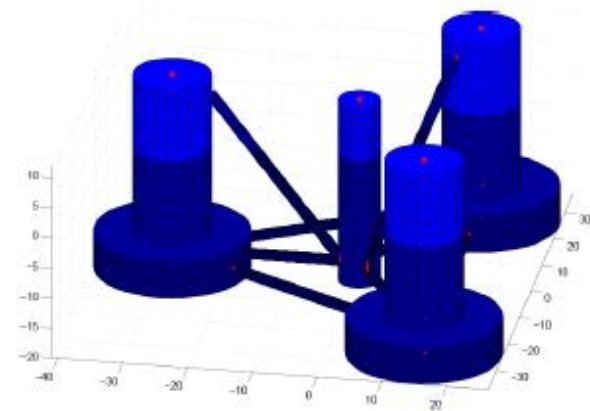
# Aproximação em ondas longas

*Turbina Eólica Flutuante OC4*



*Malha WAMIT*

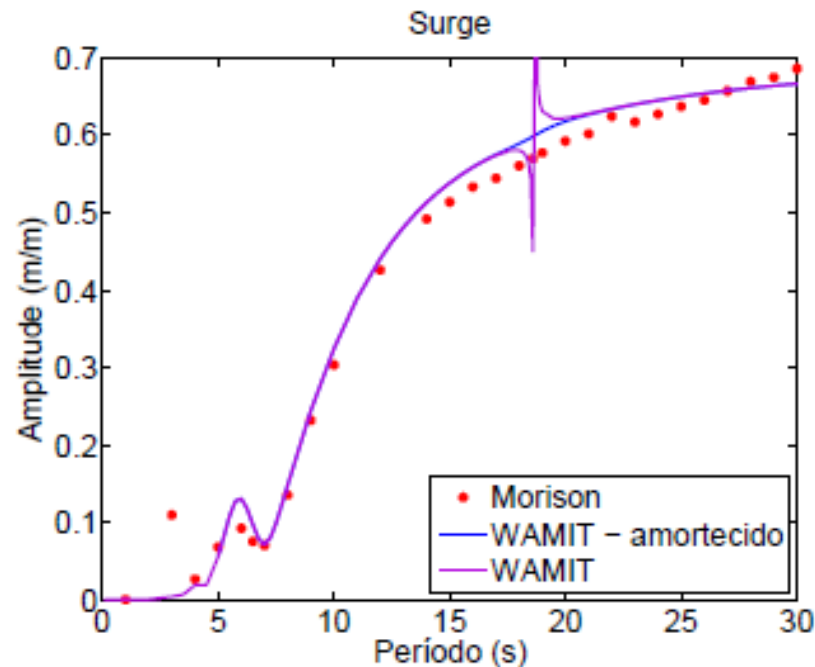
X



*Modelo em software baseado nas Eqs de Morison*

# Aproximação em ondas longas

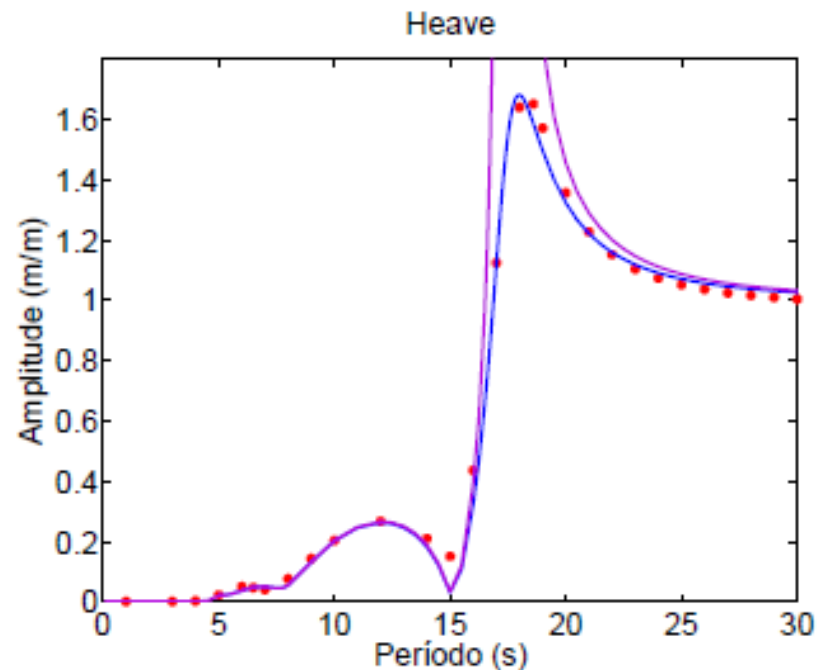
## Turbina Eólica Flutuante OC4



*RAOs para ondas com incidência de 45 graus*

# Aproximação em ondas longas

*Turbina Eólica Flutuante OC4*



*RAOs para  
ondas com  
incidência  
de 45 graus*

*Extraídas Lucas Henrique de Souza Carmo, Trabalho de Formatura PNV2511-12, 2016*